

Композитные частицы в квантовых ямах

В. М. Ковалев⁺¹⁾, А. В. Чаплик^{+*}

⁺ Институт физики полупроводников, 630090 Новосибирск, Россия

^{*} Новосибирский государственный университет, 630090 Новосибирск, Россия

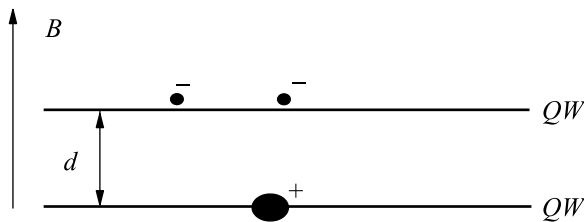
Поступила в редакцию 13 августа 2008 г.

Изучаются связанные состояния композитных частиц в одиночной и двойной квантовых ямах. Найдены спектр и поляризуемость не прямых триона и D^- -центра (отрицательно заряженный донор) в скрещенных электрическом и магнитном полях. В одиночной квантовой яме исследованы связанные состояния биэлектрона и указана возможность его экспериментального обнаружения по магнито-дипольному поглощению электромагнитных волн.

PACS: 71.35.Cc, 78.66.Fd

Введение. Двойные квантовые ямы (ДКЯ) являются одним из ярких примеров успехов современной технологии в создании сложных наноструктур с управляемыми свойствами. В них исследуются как коллективные эффекты (плазменные волны, квантовый эффект Холла), так и элементарные возбуждения, состоящие из нескольких квазичастиц, – экситоны, трионы, многозарядные комплексы [1–5]. В работе [6] изучен спектр пространственно непрямого триона в геометрии “экситон + электрон”, то есть электрон и дырка находятся в одном слое в ДКЯ, а “лишний” электрон – в другом. Внешнее магнитное поле в указанной работе не учитывалось.

В данном письме мы хотим обратить внимание на интересные свойства триона в ДКЯ в другой геометрии: “два электрона + дырка” в перпендикулярном структуре магнитном поле B (см. рисунок). В частности, будет рассмотрено связанное состояние



Схематическое изображение изучаемой структуры

двух электронов – биэлектрон – как предельный случай такого триона (разумеется, биэлектрон существует и в одиночной квантовой яме). Мы найдем энергетический спектр и обсудим оптические свойства указанных композитных частиц.

D^- – центр (отрицательно заряженный донор) в ДКЯ. Простые аналитические результаты могут быть получены в случае, когда расстояние между слоями d существенно превышает эффективный борковский радиус a_0 . Тогда кулоновское взаимодействие электронов с положительным ионом U_{ei} , находящемся в другом слое, может быть заменено осцилляторным потенциалом:

$$U_{ei} = -\frac{\tilde{e}^2}{\sqrt{\rho_1^2 + d^2}} - \frac{\tilde{e}^2}{\sqrt{\rho_2^2 + d^2}} \approx \approx -2\frac{\tilde{e}^2}{d} + \frac{\kappa}{2}(\rho_1^2 + \rho_2^2), \quad (1)$$

где ρ_1, ρ_2 – векторы положений электронов в плоскости, $\tilde{e}^2 = e^2/\epsilon$ (ϵ – фоновая диэлектрическая проницаемость), $\kappa = \tilde{e}^2/d^3$ – эффективный коэффициент жесткости в осцилляторной модели. Полный гамильтониан системы в магнитном поле \mathbf{B} (используем симметричную калибровку) имеет вид

$$\hat{H} = -\sum_{i=1,2} \frac{1}{2m} \left(\nabla_i + \frac{ie}{2c} [\mathbf{B}, \rho_i] \right)^2 + U_{ei} + \frac{\tilde{e}^2}{|\rho_1 - \rho_2|}. \quad (2)$$

Перейдем к переменным $\rho = \rho_1 - \rho_2$, и $\mathbf{R} = (\rho_1 + \rho_2)/2$. Получим

$$\hat{H} = -\frac{1}{4m} \left(\nabla_{\mathbf{R}} + i\frac{2e}{c} \frac{[\mathbf{B}, \mathbf{R}]}{2} \right)^2 - \frac{1}{m} \left(\nabla_{\rho} + i\frac{e}{2c} \frac{[\mathbf{B}, \rho]}{2} \right)^2 + \kappa(R^2 + \frac{\rho^2}{4}) + \frac{\tilde{e}^2}{\rho}. \quad (3)$$

Таким образом, движение центра масс двух электронов и их относительное движение разделяются. Для центра масс имеем: волновая функция $\Psi(\mathbf{R}) = G(R)e^{iL\phi}$, где $L = 0, \pm 1, \pm 2, \dots$ – квантовое число углового момента, ϕ – полярный угол вектора \mathbf{R} ,

¹⁾ e-mail: vadimkovalev@isp.nsc.ru

G – радиальная функция, отвечающая осциллятору в магнитном поле с массой частицы $2m$, зарядом $2e$, коэффициентом жесткости 2κ . Соответствующие собственные значения энергии равны:

$$E(N, L) = \frac{\omega_c}{2}L + \sqrt{\frac{\omega_c^2}{4} + \omega_0^2} (N + 1), \quad (4)$$

$$\omega_0^2 = \kappa/m, \quad \omega_c = \frac{|e|B}{mc}, \quad N = 0, 1, 2, \dots$$

Радиальная волновая функция $\varphi(\rho)$ и энергия w относительного движения определяются уравнением

$$-\frac{1}{m} \left(\varphi'' + \frac{1}{\rho} \varphi' - \frac{\ell^2}{\rho^2} \varphi \right) + \frac{\omega_c \ell}{2} \varphi + \frac{\tilde{e}^2}{\rho} + \left(\frac{m\omega_c^2}{16} + \frac{\kappa}{4} \right) \rho^2 \varphi = w\varphi. \quad (5)$$

Мы ограничимся здесь синглетными состояниями электронной пары, поэтому $\ell = 0, \pm 2, \pm 4, \dots$. Уравнение (5) не допускает решения в известных специальных функциях. Оно может быть решено приближенно в случае относительно малых магнитных полей ($\ell_B \gg a_0$, где ℓ_B – магнитная длина) и не слишком больших значений относительного момента, а именно, должно выполняться условие $\ell^2 \ll (\lambda/a_0)^{4/3}$, где $\lambda^2 = 1/m\Omega$ и $\Omega^2 = \omega_c^2/8 + \tilde{e}^2/2md^3$. Тогда минимум эффективного потенциала радиального движения находится при $\rho = \rho_0 = (\lambda^4/a_0)^{1/3}$, и низлежащие уровни энергии могут быть найдены снова в осцилляторной модели:

$$w^{(0)}(n, \ell) = \frac{\omega_c \ell}{2} + \sqrt{6}\Omega(n + 1/2). \quad (6)$$

В следующем приближении учитываем центробежный барьер как перенормировку эффективной константы жесткости осциллятора радиального движения (то есть добавляем к нему вторую производную центробежного потенциала в точке ρ_0). Подчеркнем, что такое приближение имеет более широкую область применимости, чем учет центробежного барьера по теории возмущений, которая требует условия $\ell^2 \ll \lambda/a_0$:

$$w^{(1)}(n, \ell) = \frac{\omega_c \ell}{2} + \sqrt{6}\Omega \sqrt{1 + \left(\ell^2 - \frac{1}{4} \right) \left(\frac{a_0}{\lambda} \right)^{4/3}} (n + 1/2). \quad (7)$$

Учтем теперь электрическое поле \mathbf{F} , лежащее в плоскости системы. Оно войдет только в гамильтониан центра тяжести электронов в виде слагаемого $U_F = 2|e|\mathbf{F}\mathbf{R}$. Фазовое преобразование волновой

функции $\Psi = \tilde{\Psi} e^{i\mathbf{K}\mathbf{R}'}$, где $\mathbf{R}' = \mathbf{R} - \mathbf{R}_0$, и подбор \mathbf{R}_0 из требования исключения линейных по \mathbf{R}' членов приводит к соотношениям $\mathbf{K} = [\mathbf{R}_0, \mathbf{B}]e/c$ и $\mathbf{R}_0 = -|e|\mathbf{F}/\kappa$ и к следующему гамильтониану центра масс электронов:

$$\hat{H}_{cm} = -\frac{1}{4m} \Delta_{\mathbf{R}'} - i \frac{eB}{2mc} \frac{\partial}{\partial \phi'} + \left(\kappa + \frac{\omega_c^2}{4} \right) R'^2 - \frac{e^2 F^2}{\kappa}. \quad (8)$$

Отсюда находим поляризуемость D^- -центра: $\alpha = 2e^2/\kappa$, которая не зависит от магнитного поля и равна просто удвоенной поляризуемости осциллятора с зарядом e и частотой ω_0 . Как мы увидим сейчас, именно по поляризуемости D^- -центр кардинально отличается от триона.

Трион в ДКЯ. Будем описывать систему введенными ранее координатами ρ и \mathbf{R} и координатой дырки (в другом слое) ρ_h . Вследствие квадратичной зависимости гамильтониана от координат и импульсов относительное движение электронов снова отделяется, и задача сводится к двум частицам (e_1, m_1) и (e_2, m_2) , где $e_1 = |e|, m_1 = m_h$ – масса дырки; $e_2 = -2|e|, m_2 = 2m$, взаимодействующих по закону $U_{int} = \kappa(\rho_1 - \rho_2)^2/2$, где $\rho_1 = \rho_h, \rho_2 = \mathbf{R}$. Пусть сначала магнитное поле равно нулю, а электрическое направлено по оси y . Тогда сохраняется x -компонента полного импульса системы P_x , поскольку координаты x_1, x_2 входят лишь в комбинации $x_1 - x_2 = x$. Вводя координаты центра масс и расстояния между частицами 1 и 2 по оси y : $y_1 = Y + m_2 y/M, y_2 = Y - m_1 y/M, M = m_1 + m_2$, приходим к гамильтониану

$$-\frac{1}{2\mu} \left(\frac{\partial^2}{\partial x^2} + \frac{\partial^2}{\partial y^2} \right) + \frac{\kappa}{2} (x^2 + y^2) - \gamma F y + \frac{P_x^2}{2M} - \frac{1}{2M} \frac{\partial^2}{\partial Y^2} - Q F Y; \quad (9)$$

здесь $\mu = m_1 m_2 / M, \gamma = \mu(e_1/m_1 - e_2/m_2), Q = e_1 + e_2$ – полный заряд. Таким образом, центр масс системы движется независимо от внутренних координат в однородном поле как частица с зарядом Q . В гамильтониан относительного движения электронов (частица 2) электрическое поле не входит, поэтому поляризуемость системы определяется слагаемым $\gamma F y$ в уравнении (9) и равна

$$\alpha = \frac{\gamma^2}{\kappa} = \left(\frac{e_1}{m_1} - \frac{e_2}{m_2} \right)^2 \frac{\mu}{\omega_0^2}. \quad (10)$$

Как и должно быть, $\alpha = 0$ для системы частиц с одинаковым отношением заряда к массе (аналог принципа эквивалентности в гравитации). В случае триона

получается $\alpha = e^2/\mu\omega_0^2$ (осциллятор с зарядом e , частотой ω_0).

В скрещенных полях ($B \neq 0$) полное отделение внутренних степеней свободы от движения центра масс невозможно. Записывая векторный потенциал в калибровке Ландау $A_x = -By, A_y = A_z = 0$, можно снова убедиться в сохранении x -компоненты полного импульса, который в магнитном поле равен $\hat{P} = -i\nabla_1 - i\nabla_2 - e_1\mathbf{A}_1/c - e_2\mathbf{A}_2/c + [\mathbf{B}, (e_1\rho_1 + e_2\rho_2)]$. Далее, как показано в работе одного из авторов и Говорова [7], можно свести задачу к трехмерному анизотропному осциллятору и выделить часть полной энергии системы, зависящую от электрического поля:

$$F = \sum_{j=1,2,3} \Omega_j \left(n_j + \frac{1}{2} \right) + \frac{P_x^2}{2M} + \frac{cE}{B} P_x - \frac{Mc^2}{2} \frac{F^2}{B^2}. \quad (11)$$

Частоты Ω_j находятся как корни кубического уравнения (см. уравнение (9) в работе [7]). Нас сейчас интересует вопрос о поляризуемости триона. Формально величина α , найденная из (11) по обычному правилу $\alpha = -\partial^2 E/\partial F^2$, дает Mc^2/B^2 , что соответствует аналогичной величине для любой заряженной частицы, дрейфующей в скрещенных полях. Дрейф триона как целого совершается со скоростью $v_x = \partial E/\partial P_x = cF/B$, и в системе отсчета, движущейся вместе с трионом, преобразованное электрическое поле обращается в нуль: $\mathbf{F}' \sim \mathbf{F} - [\mathbf{B}, \mathbf{V}]/c = \mathbf{F} - [\mathbf{B}, [\mathbf{F}, \mathbf{B}]]/cB^2 = 0$. Поэтому внутренние степени свободы системы не возмущаются, и формально определенная поляризуемость совпадает с таковой для бесструктурной заряженной частицы (и при этом не зависит от ее заряда!). Предельный переход к рассмотренному выше случаю $B = 0$ невозможен, так как (11) и выражение для дрейфовой скорости получены в нерелятивистском приближении $F \ll B$.

Бизлектрон. Связанные состояния двух (а также трех) электронов в поперечном магнитном поле рассматривались в работе [8] (разумеется, речь теперь идет просто о 2D системе, а не о ДКЯ). Авторы [8] считали магнитное поле достаточно сильным, чтобы можно было пренебречь смешиванием уровней Ландау, для чего требовалось условие $\ell_B \ll a_0$. Было показано, что, несмотря на отталкивание, спектр системы дискретный, и были найдены уровни энергии, примыкающие к нулевому уровню Ландау и зависящие от квантового числа азимутального момента относительного движения двух электронов.

Мы здесь обращаем внимание на то, что в противоположном предельном случае относительно слабых магнитных полей $\ell_B \gg a_0$ система из двух элек-

тронов также обладает дискретным спектром и является связанной, хотя природа этих связанных состояний существенно отличается от случая сильного поля. Указанные состояния возникают в потенциале, ограничивающем относительное движение частиц со стороны малых ρ кулоновским барьером \tilde{e}^2/ρ , а со стороны больших относительных расстояний – магнитной параболой $m\omega_c^2\rho^2/16$. Движение происходит в кольцевой области вблизи $\rho = \rho_0$, где при не слишком больших квантовых числах относительного момента ($\ell^2 \ll (\ell_B/a_0^*)^{4/3}$) ρ_0 определяется соотношением $\rho_0^3 = 8\ell_B^3/a_0^*$. Это точка минимума эффективного потенциала, в котором пренебрегли вкладом центробежного барьера. Хотя ρ_0 зависит от \tilde{e}^2 , вторая производная $U_{\text{эфф}}$ в точке ρ_0 определяется только магнитным полем, и мы получаем осцилляторный спектр радиального относительного движения в виде

$$w_n = \frac{\sqrt{3}}{2} \omega_c \left(n + \frac{1}{2} \right), \quad n = 0, 1, 2, \dots \quad (12)$$

В полной аналогии с (7) можно уточнить формулу (12) учетом центробежного барьера.

Согласно теореме Кона, в электродипольном приближении переходы между уровнями относительного движения электронов в магнитном поле запрещены. Однако если поместить образец в волновод в пучность магнитного поля, нормального к плоскости структуры, становятся оптически видимыми магнитодипольные переходы. Магнитное поле в этом случае представимо в виде $B = B_0 + (b_0 e^{i\omega t} + b_0^* e^{-i\omega t})$, то есть возникает ситуация параметрического резонанса. Поглощение ЭМ энергии осуществляется при переходах с правилом отбора $\Delta n = 2$ на частоте $\sqrt{3}\omega_c$. Нетрудно показать, что сила осциллятора этой линии не зависит от постоянной части магнитного поля B_0 , так как возмущение пропорционально $B_0 b_0$, а матричный элемент от ρ^2 обратно пропорционален B_0 . Таким образом, бизлектрон может быть обнаружен экспериментально в области слабых магнитных полей по поглощению на частоте $\sqrt{3}\omega_c$. Разумеется, в переменном магнитном поле будут переходы и между уровнями центра масс, $E(N, L)$ из уравнения (4) при $\omega_0 = 0$. Правила отбора для них $\Delta L = 0, \Delta N = \pm 2$. Соответствующая частота перехода равна ω_c . Легко видеть, что такая же частота соответствует переходам электродипольного типа и, таким образом, экспериментально можно различить возбуждение внутренних степеней свободы бизлектрона ($\omega_c\sqrt{3}$) от переходов, связанных с движением центра масс (ω_c).

Работа выполнена при финансовой поддержке Российского фонда фундаментальных исследований

(грант # 08-02-00152), гранта Президента РФ (# МК-299.2008.2) и программ РАН.

1. V. I. Yudson, *Phys. Rev. Lett.* **77**, 1564 (1990).
2. Yu. E. Lozovik and A. M. Ruvinsky, *Solid State Phys.* **39**, 1981 (1997).
3. L. V. Butov, C. W. Lai, D. S. Chemla et al., *Phys. Rev. Lett.* **87**, 216804 (2001).
4. Yu. E. Lozovik, I. V. Ovchinnikov, S. Yu. Volkov et al., *Phys. Rev. B* **65**, 235304 (2002).
5. Ю. Е. Лозовик, А. М. Рувинский, *ФТТ* **76**, 2220 (1997).
6. Д. В. Кулаковский, Ю. Е. Лозовик, *Письма в ЖЭТФ* **76**, 598 (2002).
7. А. О. Говоров, А. В. Чаплик, *Письма в ЖЭТФ* **66**, 423 (1997).
8. Ю. А. Бычков, С. В. Иорданский, Г. М. Элиашберг, *Письма в ЖЭТФ* **33**, 152 (1981).